

Maturaarbeit

Gangveränderungen in vierbeinigen Robotern in ändernder Gravitation

Caspar Schucan

Betreut durch
Stefan Rothe
Eva Steiner

4. November 2020



Gymnasium Kirchenfeld
Abteilung MN

Inhaltsverzeichnis

1. Einleitung	3
1.1. Vorwort	3
1.2. Zusammenfassung Paper	3
1.3. Zielsetzung	4
2. Arbeitsprozess	4
3. Weitere Arbeit	5
4. Resultate und Diskussion	6
5. Fazit	8
6. Produkt	9
A. RSI Paper	11
B. Selbstständigkeitserklärung	29

1. Einleitung

1.1. Vorwort

Diese Maturaarbeit ist etwas unkonventionell. Der ungewöhnliche Aufbau der Arbeit ist einer Kombination von Faktoren zuzuschreiben. Zum einen hat die Covid-19 Pandemie eine grosse Rolle gespielt und zum anderen konnte ich meine Arbeit mit einer einmaligen Chance kombinieren, welche ich diesen Sommer erhielt. Ich durfte am RSI (Research Science Institute) 2020 teilnehmen. Das RSI ist ein sechswöchiges Programm für Schüler und Schülerinnen im zweitletzten Jahr ihrer Mittelschulausbildung. Jedes Jahr nimmt das RSI 80 Teenager, davon 50 aus den USA und weitere 30 aus dem Rest der Welt, für sechs Wochen an das MIT in Boston, um intensiv an einem eigenen Projekt zu arbeiten. Jedes Jahr kann auch die Schweiz einen Kandidaten oder eine Kandidatin senden. Dank diesem Programm durfte ich mich während der Sommerferien intensiv und unter der Leitung von Expertinnen und Experten mit Reinforcement Learning auseinandersetzen. Ich habe in meinem Projekt vierbeinige, laufende Roboter und deren Reaktion auf eine Änderung in der Umgebungsgravitation angesehen. Dank dem Verständnis und auch der Geduld meiner beiden Betreuungslehrpersonen Herr Stefan Rothe und Frau Eva Steiner durfte ich dieses Projekt als einen grossen Teil meiner Maturaarbeit verwenden. Das Projekt und das resultierende Paper bilden einen grossen Teil dieser Arbeit und sind, aufgrund der Zusammenarbeit mit Amerika auf Englisch verfasst. Es empfiehlt sich den deutschen Teil der Arbeit zu überspringen und zuerst das englische Paper zu lesen. Ohne die Informationen über die theoretischen Grundlagen sowie den Status quo mag der Rest der deutschen Arbeit schwer verständlich sein.

In den wissenschaftlichen Teilstücken dieser Arbeit habe ich i.d.R. aus der wir Perspektive geschrieben. Dies entspricht einer Konvention aus dem wissenschaftlichen Schreiben auf Englisch, die darauf hinweisen soll, dass neben dem Autor viele andere Personen wichtige Rollen in der Entstehung einer Arbeit einnehmen und dass auch der Leser und die Leserin Teil der Arbeit sind.

1.2. Zusammenfassung Paper

Vierbeinige Roboter besitzen viele Stärken. Sie besitzen eine grössere Tragekapazität als Drohnen und bewältigen schwierigeres Terrain als Roboter mit Rädern. Diese Vielseitigkeit könnte, speziell in der Erforschung des Weltraums, von grossem Nutzen sein. Solche vierbeinige Roboter könnten jedoch hier auf der Erde nicht in der Gravitation ihrer Destination trainiert werden. Genau aus diesem Grund befasst sich dieses Paper mit der Reaktion von Robotern dieser Art auf eine veränderte Gravitation. Nachdem wir einen Roboter mithilfe von Reinforcement learning in einer Simulation trainiert haben, haben wir die Gravitation in der Simulationsumgebung geändert. Wir haben für diesen Zweck einen Reinforcement learning Algorithmus namens SAC (Soft Actor-Critic) benutzt. Im Verlaufe der Arbeit haben wir drei verschiedene Roboter sowie zwei verschiedene Belohnungsfunktionen verwendet. Zwar erreichten wir einen stabilen Laufstil, konnten diesen Laufstil aber nicht auf ein genügend realistisches Niveau bringen. Trotzdem konnten wir erhebliche Unterschiede zwischen den Leistungen in veränderter Gravitation feststellen. [2]

1.3. Zielsetzung

Ein sehr einfach formuliertes Ziel stand für einen grossen Teil meiner Arbeit über allen anderen. Das Erreichen einer realistischen regelmässigen Gangart eines Roboters. Ein Roboter, der über verschiedene Gravitationswerte generalisieren kann, war die zweite Zielsetzung. Beide dieser Ziele galten für die Gesamtheit meiner Arbeit sowohl am RSI als auch später für die Maturaarbeit.

2. Arbeitsprozess

Der Prozess zu dieser Arbeit begann im Februar mit der Bestätigung, dass ich der diesjährige Schweizer Teilnehmer am RSI sein werde. Ich suchte daher nach einer Betreuungslehrperson, die mir die Integration meiner RSI Forschungsarbeit in meine Maturaarbeit ermöglichen würde. Da ich bereits wusste, dass meine Arbeit am RSI in den Bereich der Informatik oder der Robotik fallen würde, war es naheliegend, mich zunächst bei den Informatiklehrpersonen zu erkundigen. In der Person von Herrn Stefan Rothe konnte ich einen Betreuer mit Kenntnissen in beiden Bereichen gewinnen. Wenige Wochen später kam die Hiobsbotschaft. Aufgrund der Covid-19 Pandemie würde das RSI 2020 in Boston nicht stattfinden. Eine eventuelle virtuelle Durchführung wurde zu diesem Zeitpunkt noch offengelassen.

Nun musste ich mich nach einem neuen Thema für meine Maturaarbeit umsehen. Bald fand ich ein Thema, bei welchem es ebenfalls um künstliche Intelligenz geht. Ich wollte eine Arbeit über Wolkenerkennung mithilfe von machine learning schreiben. Zusätzlich und ziemlich zeitgleich wurde bekannt gegeben, dass mein Betriebspraktikum am CSH (Center for Space and Habitability) in Bern vor den Frühlingsferien ebenfalls aufgrund der Covid-19 Pandemie und des damit verbundenen Lockdowns ausfallen würde. Die nun freigewordenen drei Wochen wurden gefüllt durch eine erste Phase intensiver Arbeit an der Maturaarbeit. Während dieser Zeit begann ich mit der Ansammlung von Grundwissen zur künstlichen Intelligenz. Außerdem bekam meine Betreuung mit Frau Eva Steiner weitere Unterstützung und Expertise für den meteorologischen Aspekt der Arbeit. In dieser Zeit intensivierte sich auch die Zusammenarbeit mit Herrn Luc Schnell. Herr Schnell hatte in seinem Zivildienst am PMOD in Davos im Bereich der Wolkenerkennung mittels künstlicher Intelligenz gearbeitet. Er sowie Herr Dr. Julian Gröbner, Co-leiter des WRCs (World Radiation Center) am PMOD gestatteten mir den Zugriff auf bereits vorhandene Daten sowie auch ihre bereits existierenden Programme. Dies waren vor allem eine grosse Datenbank mit normalen sowie auch Infrarot Fotografien des Davoser Himmels. Diese Ausgangslage ermöglichte mir, meine eigenen Arbeiten von einem höheren und damit auch spannenderen Anfangsniveau zu beginnen.

Nach den Frühlingsferien kam die erfreuliche Nachricht, dass das RSI vom 21. Juni bis am 1. August virtuell durchgeführt werden würde. Trotzdem führte ich meine Arbeit am Projekt zur Wolkenerkennung fürs Erste fort. Mein Thema für das Projekt am RSI wurde mir eine Woche vor Beginn des Programms mitgeteilt. Das RSI begann mit einer Woche aus Vorlesungen aus den verschiedenen naturwissenschaftlichen Gebieten. Erst ab der zweiten Woche wurde die Arbeit am eigentlichen Forschungs-Projekt aufgenommen. Wieder begann die Arbeit mit der üblichen Recherche. Die eigentliche Forschung stellte sich dann anders dar als erwartet. Als Erstes baute ich einen virtuellen Roboter. Obwohl ich im Verlaufe meiner Zeit am RSI später auch zwei andere etwas kompliziertere Robotermodelle brauchte, war das Design eines eigenen auch wichtig für das Verständnis der Materie. Danach fertigte ich eine virtuelle Umgebung an, in welcher der Roboter agieren kann. Viel aufwendiger war der letzte Teil meiner praktischen Arbeit. Das Training der verschiedenen simulierten Roboter. Um einen Roboter das Laufen zu lehren, braucht es, falls machine learning verwendet wird, ein Training, sodass der verwendete machine learning Algorithmus funktionieren kann. Sobald

ein Training, welches zwischen zwei und fünf Stunden dauerte, fertig war, wurden die Resultate analysiert und nach Verbesserungsmöglichkeiten gesucht. Danach wurden die Simulationsparameter entsprechend angepasst und erneut trainiert, um die eigenen Vermutungen zu testen. Die Fortschritte in dieser Phase meiner Arbeit kamen in Sprüngen. So konnte ich u.U. lange Zeit gar keinen Erfolg mit meinen Experimenten sehen, nur um dann an einem Tag mehrmals die besten Resultate von zuvor zu übertreffen.

Die Projektarbeit beanspruchte vier der insgesamt sechs Wochen des RSI. Wie bereits erwähnt bestand die erste Woche aus Vorlesungen. Die letzte Woche des Programms wurde freigehalten für die Überarbeitung des Papers und die Präsentation der Projekte. In diesen vier Wochen wurde mir viel geholfen. Gerne verweise ich dazu im Detail auf das Kapitel Acknowledgements im angehängten Paper. Alle Teilnehmenden des RSI konnten eng mit Experten und Expertinnen auf ihrem jeweiligen Fachgebiet zusammenarbeiten. Ich hatte fast täglichen Kontakt mit meinen Mentoren über einen eigens für diesen Zweck erstellten Discord Server, wo ich jederzeit Fragen stellen konnte. Jede Woche musste ich außerdem meine Arbeit der letzten Woche vor einer Gruppe Mitstudierender sowie Tutores und Tutorinnen präsentieren und einen schriftlichen Teil abliefern. Schliesslich gab es jeden Abend virtuelle Treffen mit anderen Teilnehmenden, wo wir uns über unsere jeweilige Arbeit austauschen konnten. Dies verhinderte sowohl Demotivation als auch den vollkommenen Verlust jeglicher Tagesstruktur, was für mich die negativste Konsequenz des Distance Learning war. Nach dem RSI war für mich klar, dass ich lieber mit der Arbeit an diesem Projekt weiterfahren würde, als mich mit der Wolkenerkennung zu befassen. Dank der Flexibilität meiner beiden Betreuungslehrpersonen durfte ich im August wieder auf mein ursprüngliches Konzept für die Maturaarbeit zurückkommen.

Von August bis November habe ich weiterhin mit verschiedenen Parametern meiner Simulation experimentiert, wenn auch weniger intensiv als zuvor während des RSI. Aufgrund des Wiederbeginns der Schule hatte ich weniger Zeit neue sinnvolle Abänderungen meiner Simulation zu finden. Dennoch konnte ich einige neue Ideen austesten. In den nächsten Seiten werde ich die wichtigsten Entwicklungen und Resultate aus dieser Zeit behandeln.

3. Weitere Arbeit

Um meine Arbeit weiterzuführen haben wir zuerst mein eigenes Roboterdesign angepasst. Sichtbar in Abbildung 3.1, hat das neuere Design deutlich kürzere Beine im Vergleich zum Torso. Der tiefer liegende Schwerpunkt macht es einfacher für den Roboter, die eigene Balance zu halten. Eine Verlängerung des Torsos dient zusätzlich der Verbesserung der Balance des Roboters. Ein direkter Effekt davon ist der relativ gesehen grössere Abstand zwischen den Vorder- und Hinterbeinen, der verhindert, dass sich die Beine des Roboters gegenseitig stören. Die Waden, die ursprünglich auf der Innenseite der Oberschenkel angebracht waren, befinden sich nun auf deren Aussenseite. Dies verhindert, dass der Roboter sich selbst in den Torso kickt. Die Kniegelenke wurden in eine ausgestreckte Startposition gebracht. Die ausgestreckten Beine machen keinen Unterschied für die Beweglichkeit des Roboters, ermöglichen es uns aber, die Beine zu synchronisieren, da so der *action space* (die Menge aller möglichen Befehle) für alle Knie der Gleiche ist. Mit diesem neuen Design haben wir weiterhin versucht, mit ähnlichen Experimenten wie zuvor eine natürlichere Gangart zu erreichen.

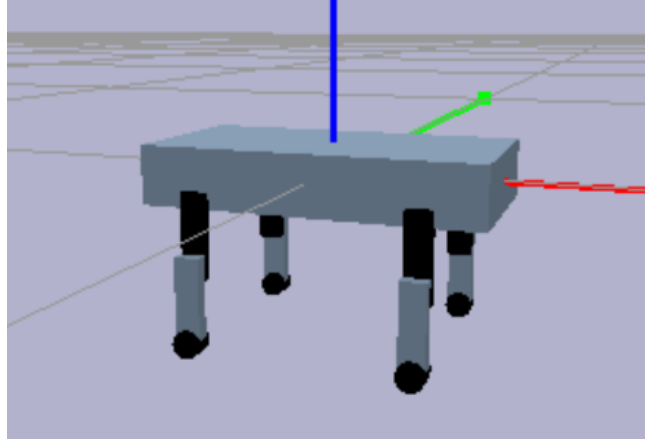


Abbildung 3.1.: Das Neudesign unseres Roboters

4. Resultate und Diskussion

Leider konnten wir keine signifikante Verbesserung in der Natürlichkeit der Gangart des Roboters erreichen. Ein kleiner Durchbruch gelang jedoch mit einer überraschenden Konstellation. Während der Finalisierung und Umsetzung der Änderungen an meinem Roboterdesign liess ich ein weiteres Training mit dem ursprünglichen Design laufen. Das Resultat war zunächst nichts Besonderes mit einer scheinbar instabilen Lauftechnik und vielen Stürzen. Als wir dann jedoch das aus diesem Training entstandene Modell für die bestmögliche Verhaltensweise mit dem angepassten Design ausprobiert haben, zeigte sich ein anderes Bild. Obwohl der Laufstil keine ästhetischen Ziele erreicht und wohl auch in einer nicht simulierten Umgebung stürzen würde, gelang es dem Roboter deutlich besser über unterschiedliche Gravitationen zu generalisieren als seine Vorgänger. In Abbildung 4.1 ist zu sehen, wie der Roboter mit diagonal synchronisierten Beinpaaren läuft. Die Belohnungsfunktion besteht aus einem Term, der die Geschwindigkeit belohnt und einem zweiten Term, der dem Roboter eine Belohnung für eine stabile Torso-Position gibt. Dazu wurde ein Limit für die Winkelgeschwindigkeit der Gelenke bei 5.23 Radianen pro Sekunde gesetzt. Der Roboter scheint eines der Beinpaare hauptsächlich als Antrieb zu benutzen und macht mit diesem Beinpaar kleine ruckartige Bewegungen, die den Eindruck erwecken, der Roboter rutsche über den Boden. Das andere Beinpaar wird dagegen offenbar nur zur Balance benutzt, um den Roboter vor dem Umfallen zu bewahren. Speziell bei erhöhter Gravitation wird dies stark ersichtlich. In Tabelle 4.1 sieht man die mittlere erhaltene Belohnung während einer Episode. Eine Episode endet jeweils mit einem Sturz oder nach 10000 Zeitschritten in Pybullet, was ungefähr 42 Sekunden sind. Wie auch für die Resultate des Englischen Papers testeten wir den Roboter in Erdgravitation, Mondgravitation, in Gravitation ähnlich der des Mars und des Jupiter. Dazu testeten wir noch bei einer Gravitationsbeschleunigung von $80 \frac{m}{s^2}$, da ein stabiles Laufen bis ungefähr dahin erreicht wurde.

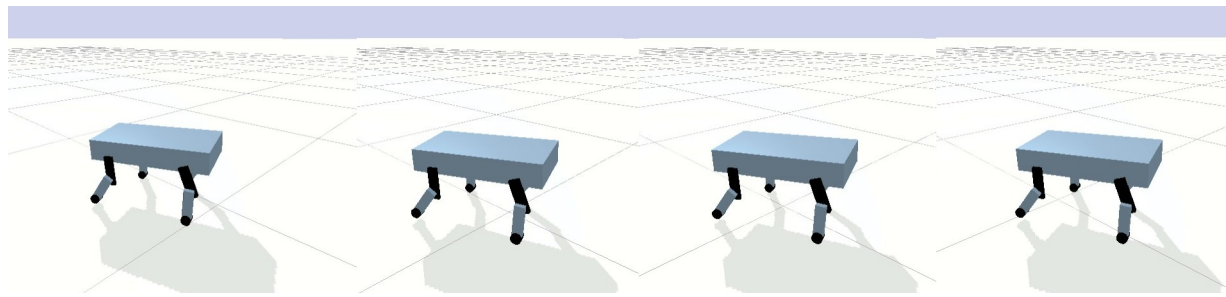


Abbildung 4.1.: Das neue Design trainiert mit SAC und synchronisierten Beinen in Erdgravitation.
Zeit zwischen den Bildern liegt bei ungefähr $\frac{1}{10} s$

Betrag der Durchschnittsbelohnung pro Episode	Gravitationsbeschleunigung in $\frac{m}{s^2}$
244.5	80
6531	24.79 (Jupiter) [1]
5317	9.81 (Erde) [1]
239.9	3.71 (Mars) [1]
177.8	1.62 (Mond) [1]

Tabelle 4.1.: Die Durchschnittsbelohnung pro Episode eines mit SAC und diagonal gepaarten Beinen trainierten Roboters über verschiedene Gravitation.

Aufgrund der Gangart des Roboters ist es schwierig, die Bilderserie zu interpretieren. Ein besseres Bild der Leistung des Roboters lässt sich der Tabelle entnehmen. Dort zu sehen ist der durchschnittliche Betrag der Belohnung in einer Episode. Da die Belohnung richtungsabhängig ist, kann bei stabiler Gangart auch eine negative Belohnung erreicht werden. Je stabiler und schneller die Gangart, desto höher wird jedoch der Betrag der negativen Belohnung, da der Roboter vergleichsweise weiter in die *falsche* Richtung läuft. Die durchschnittliche Belohnung pro Episode in Tabelle 4.1 zeigt ein erstaunlich verändertes Bild im Vergleich zu früheren Tests mit ähnlichen Parametern des Trainings. Während in früheren Experimenten ein Anstieg der Belohnung pro Episode bei Gravitation, die kleiner sind als die Erdgravitation, zu sehen war, konnte in diesem Experiment eine verbesserte Belohnung pro Episode, im Vergleich zu den früheren Experimenten bei ähnlicher Gravitation, bei der deutlich höheren Gravitation des Jupiter festgestellt werden.

Auch die generelle Gangart des Roboters macht einen visuell deutlich veränderten Eindruck im Vergleich zu den oben erwähnten ähnlichen Tests. Die Aufgabenteilung zwischen den beiden Beinpaaren scheint klarer als in allen vorgängigen Experimenten. Eines dieser Beinpaare scheint nur zum Zweck der Balance zu existieren, während das andere der Vorwärtsbewegung dient. Genau diese Aufgabenteilung zwischen den Beinpaaren ermöglicht es dem Roboter in erhöhter Gravitation bessere Leistungen zu zeigen. Bei Gravitation über dem Trainingsniveau gibt es oft Probleme mit der Balance, da durch die erhöhte Gravitationsbeschleunigung schon kleinere Abweichungen von einer vollkommen stabilen Position zu einem Sturz führen. Diese kleinen Fehler in der Balance kann der Roboter besser ausmerzen, wenn er zwei seiner Beine nur für Balance reserviert. Bei Gravitationsbeschleunigungen von über 40 m/s wird dies stark sichtbar und der Roboter beginnt, dieses Beinpaar oft stark anzuwinkeln, um einen Sturz nach vorne zu vermeiden. Eine direkte Verbindung zwischen diesem Laufstil und der spezifischen Belohnungsfunktion scheint wahrscheinlich. Die verwendete Belohnungsfunktion gewichtet die Stabilität bis zu zehnmal höher als frühere Experimente.

Die spezifische Gangart hat jedoch kein Potenzial zur Umsetzung in einer nicht simulierten Umgebung. So kleine Schritte würden in der realen Welt nicht funktionieren und der Roboter würde bereits an den kleinsten Hindernissen scheitern. Dazu kommen die stark ruckartigen Bewegungen.

Diese wären in der echten Welt nicht reproduzierbar, da sie oft eine zu hohe Beschleunigung der Gelenke voraussetzen.

5. Fazit

In dieser Arbeit konnten wir eine signifikante Veränderung im Verhalten und der Leistung von vierbeinigen Robotern feststellen, wenn diese verschiedener Gravitation ausgesetzt werden. Wir konnten ebenfalls beobachten, wie Roboter, die mit Reinforcement Learning zu laufen gelernt haben, sich besser an eine Veränderung der Gravitation anpassen. Spezifischer sind dies Roboter trainiert mit dem SAC Algorithmus und einer Belohnungsfunktion mit Fokus auf Geschwindigkeit und Stabilität. Wir konnten ebenfalls sehen, dass Roboter mit auf Balance ausgerichteten Gangarten sich besser an diese Veränderungen anpassen können. Wobei der Unterschied deutlicher ist, wenn die Gravitation erhöht wird.

Bei allen Resultaten muss jedoch auch berücksichtigt werden, wie spezifisch die Umstände sind. Die oft sehr unnatürlichen Gangarten sowie die schiere Fülle an unterschiedlichen Ansätzen an das Problem des Laufens auf vier Beinen machen verallgemeinerte Aussagen schwierig. Dazu kommt, dass *Deep Learning* Algorithmen wie der Verwendete notorisch unberechenbar ist.

Ein starker Einfluss der Gravitation auf die Leistung der Roboter wird trotzdem auch allgemeiner vermutet. Alle beobachteten Beispiele zeigten eine sehr starke Reaktion und stürzten in den meisten Fällen. Dies lässt einen starken, allgemeinen Einfluss der Gravitation wahrscheinlich wirken.

6. Produkt

Das Produkt der Arbeit ist die Summe meines Codes und der trainierten Modelle. Nur wenn wir alle diese Teile zusammennehmen, lassen sich die erwünschten Robotersimulationen produzieren. Sowohl der Quellcode des Roboters, der dessen Aussehen und physikalischen Eigenschaften definiert, als auch die Umgebung, in der die physikalischen Prozesse und die Befehle an den Roboter umgesetzt werden, und das Modell, welches dem Roboter die Befehle erteilt, sind essenzielle Bestandteile dieses Produkts.

Den Code zu den benutzten Robotern, Umgebungen und den trainierten Modellen finden sie [hier](#) und falls sie nicht in der digitalen Version sind oder dies bevorzugen unter folgendem QR-Code



Abbildung 6.1.: QR-Code zu Github

Abbildungsverzeichnis

3.1. Das Neudesign unseres Roboters	6
4.1. Das neue Design trainiert mit SAC und synchronisierten Beinen in Erdgravitation. Zeit zwischen den Bildern liegt bei ungefähr $\frac{1}{10}s$	7
6.1. QR-Code zu Github	9

Literatur

- [1] Werner Durandi u. a. *Formulae, Tables and Concepts: a concise handbook of mathematics - physics - chemistry*. en. 1st edition. Zürich: Orell Füssli, 2014, S. 210–213. ISBN: 978-3-280-04084-3.
- [2] Caspar Schucan. „Gait changes in quadrupedal robots in varied gravity“. In: (2020).

A. RSI Paper

Gait changes in quadrupedal robots in varied gravity

Caspar Schucan

under the direction of

Konstantin Delchev

Institute of Mathematics and Informatics at the Bulgarian Academy of Sciences
Yordan Tsvetkov
University of Edinburgh

Research Science Institute

July 31, 2020

Abstract

Quadrupedal robots offer great versatility since they can reach more places than wheeled vehicles and can carry more than flying drones. This versatility gives quadrupedal robots the potential to become very important in the future. Said combination of traits could be useful, especially in space exploration. Due to the more complex nature of walking compared to rolling, gravity could interfere with their performance in environments with different gravity. If we wanted to send quadrupedal robots into space, we need to know how they react to the different gravity of outer space. In this paper we trained a quadrupedal robot using reinforcement learning in a simulated environment and then tested its different gaits over various gravities. We show how adjusted gravity changes the gait significantly, at least in simulated environments.

Summary

Walking robots have many advantages over their rolling or flying counterparts. They can reach more places than rolling robots and carry more than flying ones. This combination of abilities could make them very useful to send to space and use as rovers on different planets or other celestial bodies. The walking robot could reach more extreme places there than the wheeled rovers that already exist. The problem with walking robots is how complex walking is. Even just the difference in gravity from earth to mars could significantly disturb the motion of walking. Therefore, in this paper we look at a four-legged robot that, after learning to walk, is tested in different gravities to evaluate the effect of gravity on its ability to walk.

1 Introduction

Less than half of the landmass on earth is accessible to existing wheeled vehicles; however, humans and animals can reach nearly all places [1]. Therefore, it seems advantageous to build robots that have the same ability to traverse uneven terrain.

Due to their versatility and ability to reach remote places, four-legged robots are a topic of increasing importance in a vast array of different human activities. Quadrupedal robots or any walking robots could have the ability to reach most places we humans can access too, while wheeled vehicles struggle even with for us humans easy to climb stairs. Legged robots couple this ability to reach difficult to access locations with a higher carrying capacity when compared to drones, who share the walking robots ability to reach most places and even outstrip it in that regard. Due to these advantages over flying and rolling robots, walking robots could also play a major role in space travel. Quadrupedal robots are only starting to realize their potential right now. In the last couple of years we have seen four legged robots like ANYmal [2] or Boston Dynamics' Spot being developed for inspection or maintenance tasks in industrial environments.

Quadrupedal robots tend to have one big disadvantage; at least with conventional approaches, producing a stable gait requires a lot of expertise and manual tuning. This is due to the fact that for every position of the robot a sequence of movements would have to be defined or at least have a rigid system of defined rules to determine the next action. This is further complicated when *dynamic walking* is desired. *Dynamic walking* leaves the walking system without constant balance. The robot falls from stable positions to stable position, very much like we do when walking and letting our bodyweight fall on the foot in front of us. This is in contrast to *static walking* where the walking system always remains in balance and could stop at any point during a step and maintain the current positions. An alternative approach to these conventional methods involves machine learning and in particular

reinforcement learning.

In this paper we propose using *reinforcement learning* to train a quadrupedal robot to walk dynamically in a simulated environment with earth-like gravity. The robot's gait, or walking style, is then compared over varying gravity. The effects of gravity on the gaits of dynamically walking robots could play an important role in sending them to space as these effects are difficult to study in a real world environment here on earth.

2 Reinforcement Learning

Reinforcement learning, in the context of machine learning, is in short how an *agent* can learn by trial and error, the agent being any system performing actions on its environment that change the state of said environment. Reinforcement learning uses a system of reward and punishment to help the agent learn. We reward any behaviors that lead to a desirable new state of the environment while punishing anything that leads to a non-desirable state of the environment. What such a desirable state of the environment looks like is determined by the so-called reward function, which by looking at certain observations from its environment determines how “good” a state is. An algorithm playing chess for example will be rewarded for winning a game and punished for losing one. Another important keyword in reinforcement learning is *observations*. Observations are the information about the environment that the agent uses to decide about its actions. With us humans, for example, this would be all our sensory information. Most of the time the observations don't contain all the information about the environment, we humans for example can't see higher or lower frequencies in the electromagnetic spectrum. We only have to observe the information important for the decisions process of what action we take next. In reinforcement learning, the goal is finding a an ideal *policy*. A *policy* is the set of rules or guidelines that determine the next action from the *observations*. This policy can be either deterministic or stochastic. Stochastic meaning

that there is an element of randomness incorporated into the policy. An ideal policy then, is the policy that gives us the most expected reward over time. Reinforcement learning is a type of unsupervised machine learning. This means we don't have to give the system labelled training data but it can generate and even assign the data a value or "goodness" with help of the reward function.

In the context of this paper, reinforcement learning has several advantages over conventional approaches. Reinforcement learning allows for minimal manual tuning and does not require you to have a precise understanding of what exact movements of the joints comprise walking. These two characteristics make reinforcement learning more attractive compared to conventional programming techniques.

There are many ways to implement the principles of reinforcement learning into an actual program. In this paper we used an algorithm called soft actor-critic [3]. The soft actor-critic, or SAC, uses the *Q-value function* to derive progressively better policies. The *Q-value function* as described in Equation 1 represents how big the expected accumulated reward, over a period of time, from a certain state of the environment s , is if we take a certain action a and if we act according to a policy π .

$$Q^\pi(s, a) = \mathbb{E}_{\tau \sim \pi} [R(\tau) \mid s_0 = s, a_0 = a] [4] \quad (1)$$

The τ describes the series of actions that follow from policy π , called trajectory, and the R function describes all the reward that we receive if trajectory τ is executed. Finally the E meaning that the value in the brackets is an expected value and not a certain result. The SAC uses two separate neural networks that compute the soft Q-value function. Two neural networks are used to increase stability, since only one neural network tends to over- or underestimate the real Q-value over time. Having two networks that are used to improve each other stabilizes this over-/underestimating. These two neural networks essentially improve each other in the way that the *loss*, or how wrong the neural networks are, is defined as

the squared difference between their outputs. Neural networks use this loss to then compute what to adjust for minimization of said loss. From these estimated Q-values we can extract policies that maximize our expected reward when the Q-value networks get better and better. Besides The Q learning, the SAC uses *entropy maximization*. This means that the reward function has a built-in component that rewards the agent for a policy with high entropy or randomness. High entropy helps the robot try out more different strategies so it does not accidentally converge on a local maximum.

3 Experiments

To build and train this quadrupedal robot, we used three libraries. We used OpenAI Gym to construct an environment fit for reinforcement learning. OpenAI Gym is an open source library and crafted specifically to allow convenient construction and use of such reinforcement learning environments. To simulate the robot and its environment we used PyBullet. PyBullet is one of the leading open source simulation frameworks. It is easy to use and already has a sizeable community. To implement the machine learning part of reinforcement learning, we used stable-baselines. Stable-baselines offers an open source implementation of many popular reinforcement learning algorithms, including SAC.

Robots

During this project, we used three different robots. Firstly, we used a robot by our own design as seen in Figure 1. Said robot is optimized for simplicity. All eight joints turn around an axis of the same orientation as the others. This would make it very difficult for this robot to keep balance after being pushed or even when trying to maneuver through hard terrain. The indicated simple design can only work in the idealized simulated environment. The simplicity of the robot has the advantage that most other quadrupedal robots have all the same

structures or similar ones present. This makes the aforementioned robot potentially valuable if we want to make conclusions from the behaviour of this robot to the behaviour of other quadrupedal robots. The process of designing and coding our own robot had educational purposes too. Its eight joints, four hips and four knees, are all revolute joints, meaning they have defined limits up to where they can turn.

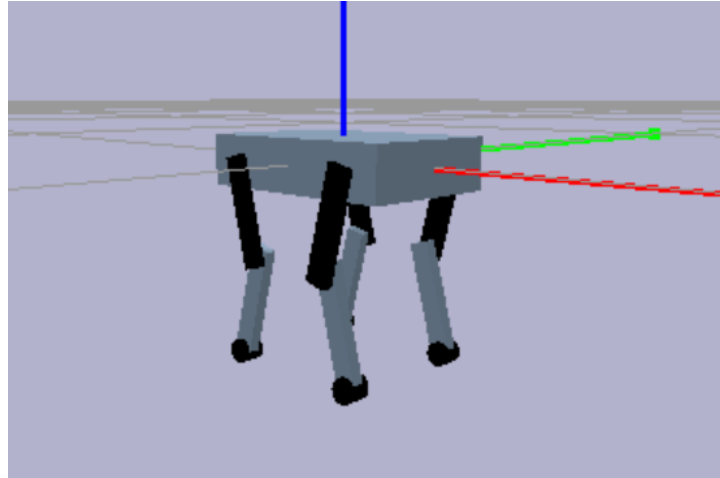


Figure 1: The self-designed robot

Secondly, we used a virtual version of the Laikago robot by Unitree, as seen in Figure 2. One important difference between our own robot design and Laikago is the addition of another joint on each leg. This joint is located at the hip and its axis of rotation is perpendicular to those of the other joints which allow for better reaction to forces from outside. This robot is included in the Pybullet library.

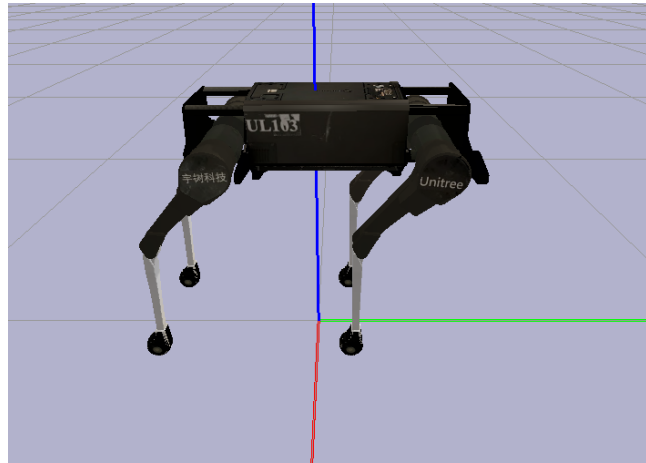


Figure 2: Laikago by Unitree

Lastly, we used a conventionally programmed robot, provided by my mentor Mr. Yordan Tsvetkov, as seen in Figure 3. The robot follows a program that calculates the next action from the current joint positions using a deterministic formula. This robot uses the same joints as the first one. The big difference being that it has been conventionally programmed and optimized to walk in earth-like gravity. We also trained this robot using SAC. It served as a more realistic version of the robot we design ourselves.

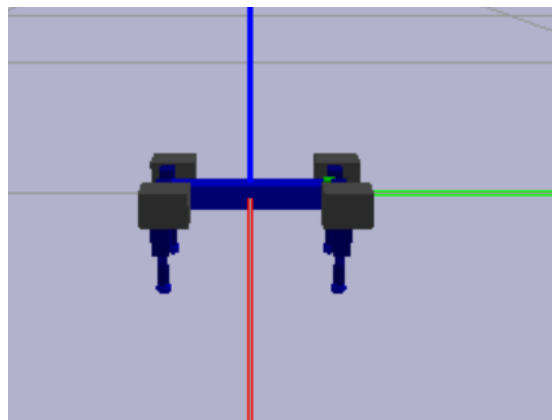


Figure 3: A robot used to test conventional approach

Actions

An action in our case consists of instructions to all joints what to do next. In this paper we used PyBullet position control [5]. An action is defined in a list of length four or eight with the target positions of each joint. Even though we have at least eight joints on every robot used, it sometimes proves useful to only use 4 different instructions and give two of the legs the same instructions. A limit for maximum angular velocity of the joint is set in the environment at $5.23\frac{r}{s}$.

Observations

The observations are all the details that the robot knows about its environment to decide which actions it should take next. Because the robot's surroundings are constant – a flat plane – no sensory information about its surroundings are necessary. We decided to observe the positions of all joints as well as the orientation of the torso around the x- and y-axes and the angular velocities of the torso around these axes. These observations should give the robot enough information to perform the task at hand [6]. The orientation and angular velocity of the torso around the z-axis is unnecessary since it is at least for our purposes not important whether the robot walks forward or backwards or even at an angle.

Reward

We studied two different reward functions. The first reward function tried, as seen in Equation 2, to reward stability and velocity in a target direction. The latter is simply achieved by looking at how much distance was made in the last time step of Δx . The coefficient a is there to balance the importance of the velocity compared to the importance of the stability. Said stability is incentivized by a function that rewards slight tilts of the torso while punishing big tilts, or positions that are close to falling. The *roll* describes the angle of the torso around the x-axis that is part of the observations. The *pitch* is the angle around the y-axis. We use

the absolute values of these angles so that there is no difference in cases depending on which side the robot is tilted. The subtracted constants provide the aforementioned reward for balanced positions.

$$r = a \cdot \Delta x - b \cdot (|roll| - 0.2 + |pitch| - 0.15) \quad (2)$$

The second reward function used, as shown in equation 3, kept the velocity element of the first reward function but focused more on efficiency instead of stability. The efficiency is incentivized by a term that punishes big angular velocities and torques in the joints. In the formula, this term is shown as the scalar product of the vector with all joint torques and the vector of all angular velocities. This reward function was proposed for dynamic quadruped locomotion by Jie Tan et al. [6]. We only used this reward function on Laikago.

$$r = \Delta x - w\Delta t |\tau_n \cdot \dot{\mathbf{q}}_n| \quad (3)$$

Training and Tests

Models were trained for one million time steps. Training takes place in an environment with earth-like gravity. The neural networks used to estimate the Q-value function both consist of two layers of 256 neurons. The neural networks use an activation function called *ReLU*. *ReLU* is a very simple activation function where a neuron is activated or “fires” if the incoming values exceed a certain threshold. After training, the gait of a robot is observed and analyzed in four different gravities. We tested the robot in earth-like gravity as a control group and then look at how its gait changes in the lower gravities of the moon and mars and also tested how it reacts to a higher gravity, which we test in an environment with Jupiter-like gravity.

4 Results

Using a conventionally trained robot, the effects of gravity are drastic. The robot can only walk in a stable manner in a range between $0.8g$ and $1.5g \pm 0.05g$. In all tested gravities the robot fell with the exception of the earth-like gravity it was built to walk in. This is very well documented by Table 1. It shows how far the robot could walk in 40 seconds or until it fell down. Due to the deterministic nature of how the robot acts in every position, we don't need to look at multiple tries because the robot will behave the same way every time. The conventionally trained robot walks with the legs moving in diagonal pairs. This type of gait is very often seen in the animal world. It is not unlike the trot of a horse, although much simpler since the legs of horses have an additional ankle joint. The rough progression is seen in Figure 4. Important to note when comparing the different frame sequences is that the time passing between the pictures varies between the different robots tested.

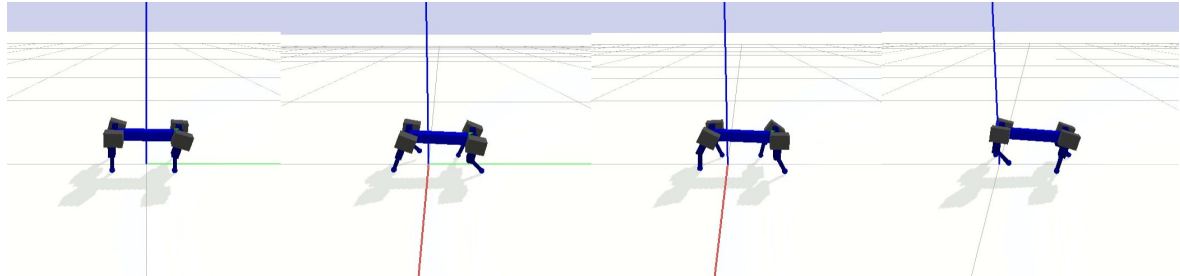


Figure 4: The conventionally programmed robot walking in earth-like gravity. Time between pictures equals approximately $\frac{1}{3}s$

Distance in 40s or until falling in cm	Gravitational acceleration in $\frac{m}{s^2}$
57.9	24.79 (Jupiter)
1037.4	9.81 (Earth)
47.8	3.71 (Mars)
52.9	1.62 (Moon)

Table 1: The distance walked by the conventionally programmed robot in 40 seconds or until falling over, compared over different gravity

The conventionally programmed robot failing to adapt well to different gravity does not come as a big surprise. The sequence of movements is regular and is not dependent on the orientation of the torso and does not try to adjust this orientation to achieve balance. This inability to adjust to any changes of the environment indeed can be attributed to the relative simplicity of the robot and its gait.

When training the robot from Figure 4 using SAC we gave the same instruction to the diagonal pairs of legs as in the conventionally trained version. The reward function used was Equation 2. The gait, as seen in Figure 5, looks vaguely similar to one produced by the conventionally trained version although it does not move its body over the legs like the conventionally programmed robot does. This is likely due to the fact that the reward function for this robot includes a term for stability, and moving the body over the legs is difficult to do while staying upright. Similarly to the conventionally programmed version, this robot failed to walk stably in all tested gravities, as is shown by the example of the robot falling in martian gravity in Figure 6, except in earth-like gravity where it was trained. Table 2 shows how the mean reward per episode changes when gravity is changed. This data cannot be directly compared to the other robots trained using a reward function of the same type as Equation 2, since the parameters a and b vary. An episode ends after 40 seconds or when the robot falls down. We average the reward over 10 episodes. This small sample size is sufficient

because while the robot does act stochastically, meaning somewhat randomly, it does always behave similarly.

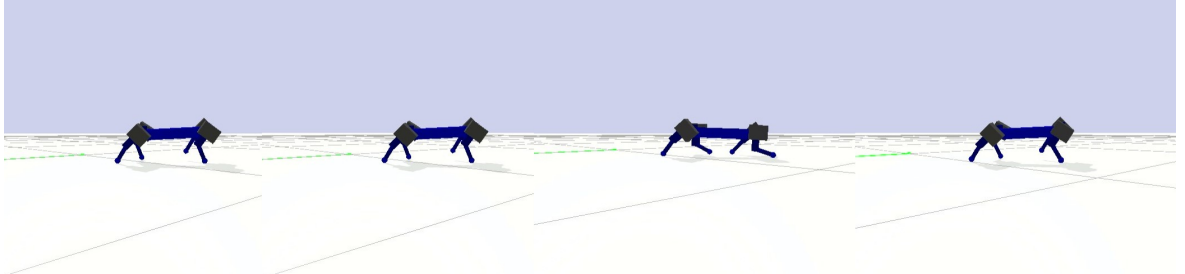


Figure 5: Robot walking trained with SAC and diagonally paired legs in earth-like gravity. Time between pictures equals approximately $\frac{1}{10}s$



Figure 6: Robot trained with SAC and diagonally paired legs falling in martian gravity. Time between pictures equals approximately $\frac{1}{10}s$

Mean reward per episode	Gravitational acceleration in $\frac{m}{s^2}$
58.2	24.79 (Jupiter)
10700	9.81 (Earth)
194.8	3.71 (Mars)
907.1	1.62 (Moon)

Table 2: The mean reward per episode by a robot trained using SAC with diagonally paired legs, compared over different gravity

Using our own design, the biggest challenge was achieving any gait at all. Although, we have found robots with a stable walk, these walks use non-symmetric leg movements that

often appear jerky and irregular. In addition, these movements are often that small that the robot nearly seems to glide over the ground in a fashion not unlike a hedgehog or similar small quadrupedal animals. Due to the erratic nature of the walking, comparisons between gaits in different gravities are still difficult. Still, the robot trained using reinforcement learning and without paired legs seemed less affected by varied gravity and managed to walk in a stable manner for all tested values. The robot fell sometimes too, in all tested gravities. The mean reward per episode over the different gravities, seen in Table 3, shows us a very different picture to what we saw happening to how far the conventionally programmed robot could walk in forty second, as depicted in Table 1. It is important to know that the reward also includes a term for stability in this case, so there is no one-to-one correspondence possible, but the fact that the learned robot is able to generate more reward in lower gravity suggests at least some adaptability. This type of reward function seems to perform better when gravity gets really low. We have seen a rise in mean reward per episode when comparing Mars- and Moon-like gravity in the robot trained with SAC and paired legs too.

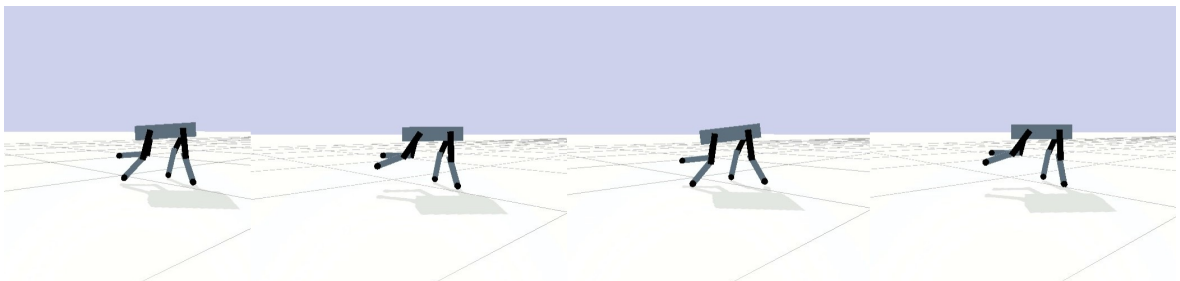


Figure 7: The robot of our own design trained using SAC walking in earth-like gravity. Time between pictures equals approximately $\frac{1}{30}s$

Mean reward per episode	Gravitational acceleration in $\frac{m}{s^2}$
920	24.79 (Jupiter)
3700	9.81 (Earth)
5197	3.71 (Mars)
7025	1.62 (Moon)

Table 3: How much the reward the robot gets on average in the first 40s, or until falling, over the different gravities

The reasons for our own robot’s failure to walk in a regular fashion could be found in many places. These include but are not limited to a bad reward function, non-ideal size or activation function of the neural networks used, or a flawed robot design. The improvement of the mean reward per episode in lower gravity is most probably an effect of the specific reward function, but even if we raise gravity, and the reward per episode goes down, this drop is less significant than the one seen in the conventionally programmed robot. Still we saw the mean reward per episode drop very far in the robot trained with SAC and paired legs.

We did not do enough experiments to produce a stable Laikago walk. Instead we decided to migrate to the robot provided by Mr. Tsvetkov and do more experiments using that robot.

5 Future Work

In a first step, we have to improve the regularity of the walk of a robot trained using reinforcement learning in earth-like gravity. If the observed effects persist, one interesting possibility to mitigate said effects could be to randomize the gravity during the training phase so that the robot can acclimatize to a range of different gravities. It would also make sense to test very different learned robots to see if their relative adaptability when gravity is varied holds true for a broader spectrum of reinforcement learning algorithms and reward

functions. Another option to explore in the future would be to try changing from position control to torque control, which is the dominant method of robot joint control right now but is less intuitively understandable.

6 Conclusion

We have shown in this paper that quadrupedal robots change their behavior and performance significantly when subjected to varying gravity. We have also seen how robots that learned to walk using reinforcement learning. More specifically with the SAC algorithm and a reward function that prioritizes speed and stability, are able to better adapt to a changing gravity than conventionally programmed robots, although this effect is greater in a more erratically acting robot.

7 Acknowledgments

I would first like to thank my mentors Mr. Konstantin Delchev and Mr. Yordan Tsvetkov. Without their tips, feedback and always well thought out answers to my questions how simple they may have been. I want to thank Dr. Jenny Sendova for her tutelage and providing endless energy in every meeting. I want to express my gratitude to the first week teaching assistants Shloka Janapaty and Albert Wang. I would also like to thank Caitlin van Zyl and Elijah Stanger-Jones who gave fantastic feedback on some of my paper's drafts. I want to thank Dr. Amy Sillman, all people working in the background to make this possible, RSI, CEE and MIT for creating this wonderful opportunity. I'd like to thank my counselor Basheer AlDajani and my fellow Rickoids. Last but not least, I want to thank my family for putting up with my schedule during their holidays.

References

- [1] M. Raibert, K. Blankespoor, G. Nelson, and R. Playter. Bigdog, the rough-terrain quadruped robot. *IFAC Proceedings Volumes*, 41(2):10822–10825, 2008.
- [2] M. Hutter, C. Gehring, D. Jud, A. Lauber, C. D. Bellicoso, V. Tsounis, J. Hwangbo, K. Bodie, P. Fankhauser, M. Bloesch, et al. Anymal-a highly mobile and dynamic quadrupedal robot. In *2016 IEEE/RSJ International Conference on Intelligent Robots and Systems (IROS)*, pages 38–44. IEEE, 2016.
- [3] T. Haarnoja, A. Zhou, P. Abbeel, and S. Levine. Soft actor-critic: Off-policy maximum entropy deep reinforcement learning with a stochastic actor. *arXiv preprint arXiv:1801.01290*, 2018.
- [4] J. Achiam. Part 1: Key concepts in rl, 2018.
- [5] X. B. Peng and M. van de Panne. Learning locomotion skills using deeprl: Does the choice of action space matter? In *Proceedings of the ACM SIGGRAPH/Eurographics Symposium on Computer Animation*, pages 1–13, 2017.
- [6] J. Tan, T. Zhang, E. Coumans, A. Iscen, Y. Bai, D. Hafner, S. Bohez, and V. Vanhoucke. Sim-to-real: Learning agile locomotion for quadruped robots. *arXiv preprint arXiv:1804.10332*, 2018.

B. Selbstständigkeitserklärung

Ich erkläre hiermit, dass ich diese Arbeit selbstständig verfasst und keine anderen als die angegebenen Quellen benutzt habe. Alle Stellen, die wörtlich oder sinngemäss aus Quellen entnommen wurden, habe ich als solche gekennzeichnet.